

BGA ИЗВОДИ ЗА ТЕСТВАНЕ НА СВЧ ЧИП НОСАЧИ И МОДУЛИ

Радосвет Георгиев Арнаудов, Валентин Христов Бугеков, Николай Стефанов Йорданов, Божидар Георгиев Авджиски, Десислав Цветанов Дамянов - Технически университет София - ФЕТТ

BGA Transitions for Testing of Microwave Chip Carriers and Modules In this article are presented BGA transitions for testing and measurement of microwave chip carriers and multichip modules. For elimination of the problems, occurring in multiple solder/de-solder operations of the carriers to the test PCB fixture and in order to perform stable microwave joints, the authors propose different types of microcontacts- galvanic studs, rings and solder bumps. The assembly of the structures could be enhanced with solder paste and reflow process. Different micro-joint contacts and their technology routes for manufacturing are presented. The microwave performance of these transitions is simulated through 3D electromagnetic simulator HFSS in X-band. Vector analyzer measurements on HP 8510C are also carried out, pointing a good coincidence with the simulations.

В съвременната технология на монтаж основен метод е повърхностния монтаж, като повишаването на броя изводи от елементите и плътността на монтажа засили използването на BGA елементи [1]. Този тип изводи намират успешно приложение и при свръхвисокочистотни (СВЧ) схеми [2].

Задача. В редица случаи при монтаж на СВЧ чипове и модули се налага предварително съгласуване и използване на понижени температури при монтаж. При тестването се налага няколократно контактуване към BGA изводите.

В [3] е предложен вариант за многократно контактуване в подложка от оксидиран алуминий, а в [4] е разгледан аналогичен вариант за подложка от FR4. Необходимо е разработването на аналогични методи за използване при СВЧ. BGA изводите трябва да позволяват няколкократно контактуване и измерване, и при необходимост твърдо фиксиране.

Конструктивни решения.

На фигура 1 е показано решение за контактуване чрез микроцифти и микрогрибна което позволява последващо спояване за твърдо фиксиране на връзката. Микрогрибните и микроцифтовете се изготвят от мед чрез съответно израстване показано в технологичните решения.

Облекчен вариант на това контактуване е дадено на фигура 2. Тук нямаме външна микрогрибна а върху галваничния микрошифт и изградено припойно покритие оформено чрез сплавяне. Тази конструкция също позволява търдо фиксиране ако предварително се нанесе спойваща паста върху контакtnата площа.

Третия конструктивен вариант показан на фигура 3 е модификация на първия и намира приложение при тесиване, когато имаме многократно контактуване.

Размера на контакtnата площа и от там на грибната съобразяват с ширината на микролентовата линия, която пък е свързана с вълновото съпротивление. Типични стойности на ширината са между 450 и 700 мкм. Височината на контакта се определя от изискването за съгласуване на две линии. Типични стойности са 250 до 550 мкм. За оптимизиране на тези параметри е необходимо симулиране на конструкцията.

Симулация. Поради това че дадените конструктивни решения работят в областта на СВЧ нормалните симулатори за електронен анализ не са приложими. Необходимо е изследване разпределението на електромагнитното поле в тримерното пространство. За целта е използван 3D електромагнитен симулатор HFSS. Задачата е решавана на фулерони станции предоставени от фирма "Скай гейт - България" ООД. Продължителността на процеса е над едно денонощие. На този етап не са отчитани обемното разпределение на проводимостта на материала и параметрите на микрорелефа на контакта.

На фигура 4 (а и б) са показани конструктивните модели въведени в симулатора - за контактен микрошифт със спойващо покритие и за чисто галванично контактуване.

На фигура 5 са дадени резултатите от симулацията на конструкцията от фиг. 4а . Показани са коефициента на отражение и предаването. На следващата фигура 6 е разгледано второто конструктивно решение. Отново са представени отражението и предаването.

Технологични решения . Основен елемент в технологичното изпълнение е създаването на електрохимичните елементи - микрошифти и микрогрибната . На фигура 7 е дадена обобщена технологична схема за изграждането на микрогрибната. За целта се използва кисел меден електролит с добавка. В зависимост от дебелината (времето на удебеляване) може да се получи структура с или без зъб.

Един от проблемите който трябва да бъде решен е оптимизирането на токовата плътност при едновременно отчитане на микроразсейващата способност в електролитната вана. На фигури 8 и 9 са показани два случая при различна плътност. На втората фотография се вижда оптимизиран резултат.

Измервания. За измерване на контакта при постоянно напрежение се използва матрично свързване на гве шини. На фигура 10 е показана фотография на такова свързване. Шините са изгответи върху стъклена подложка за да се осъществи по-лесно съвместяване.

Полученото омично съпротивление е по-малко от $30 \text{ m}\Omega$. Предварителните измервания на СВЧ показват задоволително съвпадение с резултатите от симулирането. Измерванията са извършени с помощта на векторния измерител HP 8510C.

Заключение. Представения в доклада нов начин за контактуване при измерване на СВЧ елементи и модули спомага за избягването на многократното запояване и разпояване на същите. Конструктивните решения са технологично изпълнени чрез използване на галванични методи.

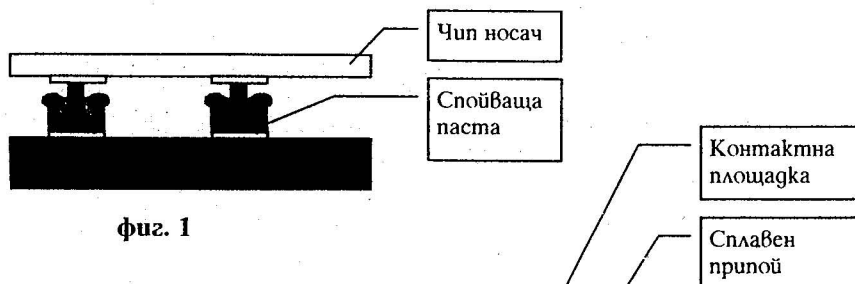
Резултатите от електромагнитната симулация показват известно предимство за електрохимично израснатите микрогравири и микроцифтове.

Необходимо е по-нататъшно изследване на влиянието на формата на контакта, повторяемостта на конфигурацията по цялята площ на модула и толерансите на параметрите при непълно контактуване.

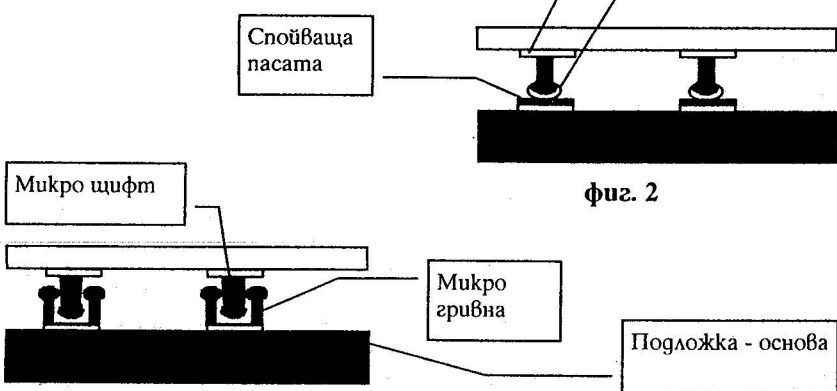
Един от немаловажните въпроси е механоклиматичната устойчивост и необходимостта от многослойна конструкция. Тези и други задачи ще бъдат изследвани в следващи разработки.

Литература:

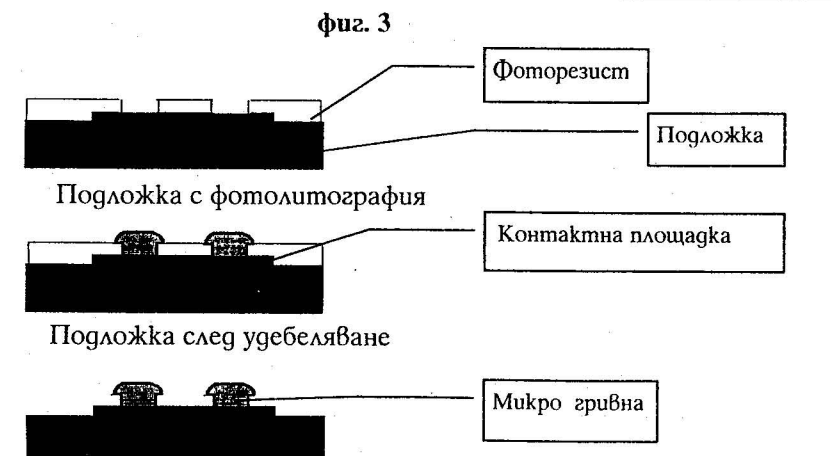
1. Wassink, R., Verguld, M., Manufacturing techniques for surface mounted assemblies, Electrochemical publications LTD 1995
2. M.P.R. Panicker, D.Douriet, M.S.Hyslop and N.L.Greenman Ball Grid Arrays: A DC to 31.5 GHz Low Cost Paikaging Solution for Microwave and mm-wave MMICs MICROWAVE JOURNAL Januari 1998
3. Valentin Videkov , Slavka Tzanova , Philipp Philippov - Flip-Chip Technology with Blind-Hole-Clips-Bump Attachment Proceedings 1999 International Simposium Microelectronics Oktober 26-28 1999 Chicago p. 480 -483
4. V. Videkov, S. Tzanova , N. Yordanov Flip Chip Mounting Technique with Clips IMAPS - EUROPE PRAGUE 2000 European Microelectronics Packaging and Interconnection Symposium 18-20 June 2000 Proceedings p. 383-387



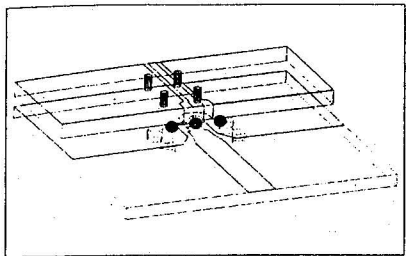
фиг. 1



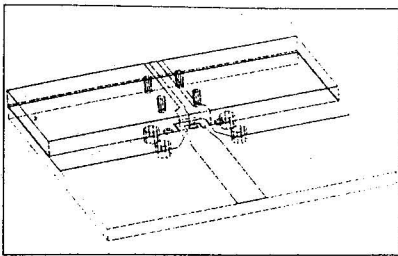
фиг. 2



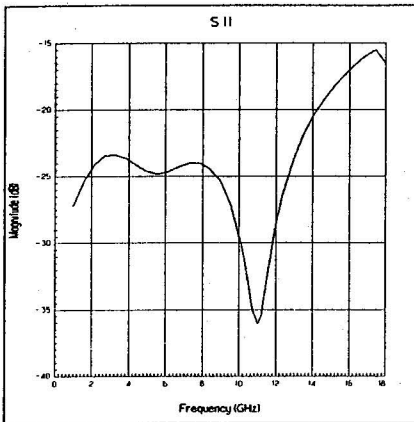
фиг. 7



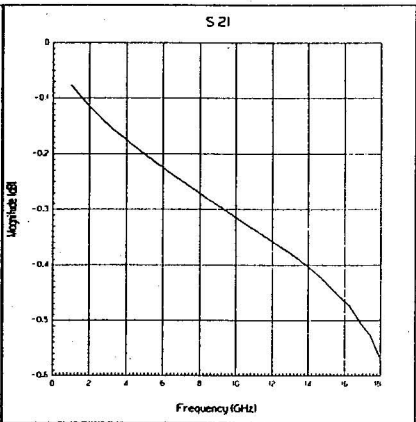
Фиг. 4а



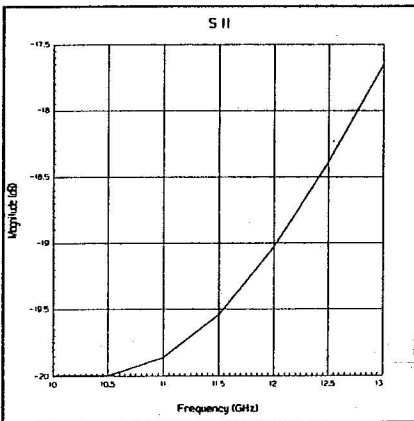
Фиг. 4б



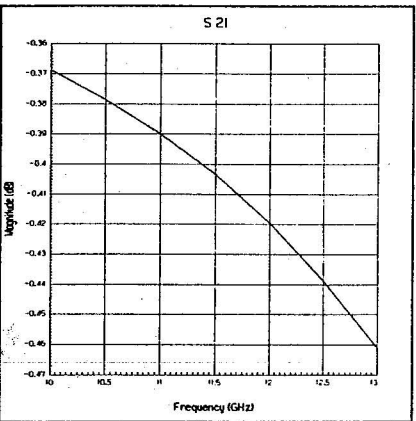
Фиг. 5а



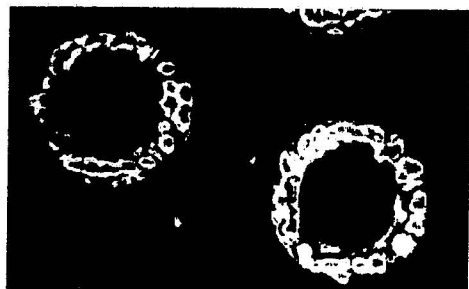
Фиг. 5б



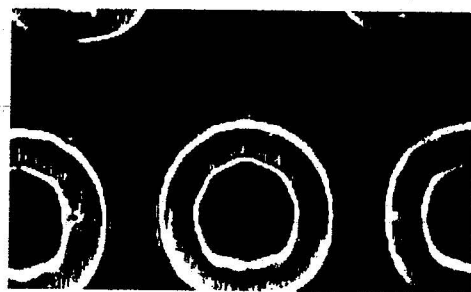
Фиг. 6а



Фиг. 6б



фиг.8



фиг.9



фиг. 10